

グリーン関数による開水路不定流の解析

北見工業大學 正員 佐渡公明

1 まえがき

前報^①では、上流端で微小擾乱が加わった流れを扱い、流量や水深の未知数1個の式にまとめた、非自己隨伴形双曲型偏微分方程式（横流入を加えると非同次になる）に対し、如何にGreen関数を適用して解いていくかを中心とした報告した。本論文では、非線形微分方程式の有力な解法の1つである擾動法を適用し、得られる線形方程式（微小擾乱の場合と同種類）をGreen関数を使って解こうとするものである。この方法の特長は、差分法、特性曲線法に比較して、仕事時刻、仕事地点に於ける未知量が直接求まり、仕事地點に於ける最大流量（水位）の生ずる時刻、逆に仕事時刻に於ける最大流量（水位）の生じている地點を求める事が可能となる。

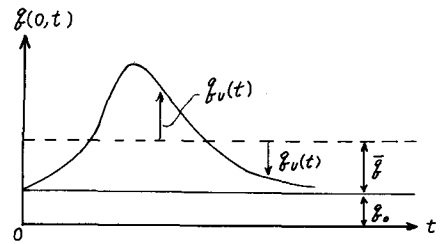
2 探動法による線形化

幅の広い長方形水路で横流入を含む不定流の連続方程式、運動方程式は

$$\frac{\partial h}{\partial t} + \frac{\partial g}{\partial x} - \frac{g_L}{b} = 0 \quad \dots \dots \dots \quad (1) \quad g(0, t)$$

$$\frac{\partial u}{\partial t} + u \frac{\partial u}{\partial x} + g \frac{\partial h}{\partial x} + g(i_f - i_o) + \frac{g_L u}{b h} = 0 \quad \dots (2)$$

ここで h : 水深 q : 単位幅当りの流量
 b : 水路幅 q_0 : 水路単位長さ当りの横流入量
 v : 平均流速 f : 摩擦勾配
 i : 水路底勾配 γ : 重力加速度



第1回 上流端でのハイドログラフ

次にオーナー図に示すように上流端に於る流量・時間曲線で

$$\text{変動流量の平均値を}\bar{q},\text{同様に上流端に於る変動水位の平均値を}\bar{h}\text{とし, }g_0, u_0, h_0,\text{を定常流に対する水理量とし, }u_0 + \bar{h}\text{を次式の様におく} \quad 11 + \bar{11} = g_0 + \bar{g} \quad \text{---(3)}$$

$$U_0 + \bar{U} = \frac{g_0 + \bar{g}}{h_0 + \bar{h}} \quad \dots \dots \dots (3)$$

任意地点で、任意時刻 t に於ける流量を $Q(x, t)$ 、水位 $h(x, t)$ 及び流速 $U(x, t)$ を次式の様に展開する。

$$g(x,t) = (g_0 + \bar{g}) \left\{ 1 + \frac{g_1(x,t)}{g_0 + \bar{g}} + \frac{g_2(x,t)}{(g_0 + \bar{g})^2} + \dots \right\} \quad \dots \quad (4)$$

$$h(x,t) = (h_0 + \bar{h}) \left\{ 1 + \frac{h_1(x,t)}{h_0 + \bar{h}} + \frac{h_2(x,t)}{(h_0 + \bar{h})^2} + \dots \right\} \quad \dots \quad (5)$$

$$u(x,t) = (u_0 + \bar{u}) \left\{ 1 + \frac{u_1(x,t)}{u_0 + \bar{u}} + \frac{u_2(x,t)}{(u_0 + \bar{u})^2} + \dots \right\} \quad \dots \quad (6)$$

今 $\xi = 1 / (\xi_0 + \bar{\xi})$, $l = u_0 + \bar{u}$, $m = h_0 + \bar{h}$ とおけば上式は

$$g(x,t) = (g_0 + \bar{g}) \{ 1 + \varepsilon g_1(x,t) + \varepsilon^2 g_2(x,t) + \dots \} \quad \dots \quad (7)$$

$$h(x,t) = (h_0 + \bar{h}) \{ 1 + l \varepsilon h_1(x,t) + l^2 \varepsilon^2 h_2(x,t) + \dots \} \quad \dots \quad (8)$$

$$u(x,t) = (u_0 + \bar{u}) \{ 1 + m\varepsilon u_1(x,t) + m^2 \varepsilon^2 u_2(x,t) + \dots \} \quad \text{--- (9)}$$

(4)～(6)式を(1), (2)式に代入して ε , ε^2 , ε^3 , ……オーダーを整理すると(紙面の都合上 $O(\varepsilon^3)$ 以上は省く)
 $O(\varepsilon)$;

$$\frac{\partial h_1}{\partial t} + \frac{\partial g_1}{\partial x} - \frac{g_1}{b} = 0 \quad \dots \dots \dots (10)$$

$$\frac{\partial U_1}{\partial t} + (U_0 + \bar{U}) \frac{\partial U_1}{\partial x} + g \frac{\partial h_1}{\partial x} + g S_o (1 - 2a_o \frac{h_1}{h_0 + \bar{h}} + 2 \frac{U_1}{U_0 + \bar{U}}) - g i_o + \frac{g_1}{b} \frac{(U_0 + \bar{U})}{(h_0 + \bar{h})} = 0 \quad \dots \dots \dots (11)$$

$$g_1 = (U_0 + \bar{U}) h_1 + (h_0 + \bar{h}) U_1 \quad \dots \dots \dots (12)$$

$O(\varepsilon^2)$;

$$(g_0 + \bar{g}) \frac{\partial h_2}{\partial t} + (h_0 + \bar{h}) \frac{\partial g_2}{\partial x} = 0 \quad \dots \dots \dots (13)$$

$$\begin{aligned} & \frac{\partial U_2}{\partial t} + (U_0 + \bar{U}) \frac{\partial U_2}{\partial x} + g \frac{(U_0 + \bar{U})}{(h_0 + \bar{h})} \frac{\partial h_2}{\partial x} + 2g S_o \left\{ -a_o \frac{(U_0 + \bar{U})}{(h_0 + \bar{h})^2} h_2 + \frac{U_2}{(U_0 + \bar{U})} \right\} \\ &= - (U_0 + \bar{U}) U_1 \frac{\partial U_1}{\partial x} - g S_o \left\{ a_o (2a_o + 1) \frac{(U_0 + \bar{U})}{(h_0 + \bar{h})^2} h_1^2 - \frac{4a_o}{(h_0 + \bar{h})} U_1 h_1 + \frac{U_1^2}{(U_0 + \bar{U})} \right\} + \frac{g_2}{b} \frac{(U_0 + \bar{U})}{(h_0 + \bar{h})} \left\{ \frac{(U_0 + \bar{U})}{(h_0 + \bar{h})} h_1 \right. \\ & \quad \left. - U_1 \right\} \dots \dots \dots (14) \end{aligned}$$

$$g_2 = (U_0 + \bar{U})^2 h_2 + (h_0 + \bar{h})^2 U_2 \quad \dots \dots \dots (15)$$

ここで S_o , a_o は次の通りである。

$$S_o = \frac{m^2 (U_0 + \bar{U})^2}{(h_0 + \bar{h})^{4/3}} \quad a_o = \frac{2}{3} \quad \text{for Manning formula} \quad (16)$$

$$S_o = \frac{(U_0 + \bar{U})^2}{C^2 (h_0 + \bar{h})^2} \quad a_o = \frac{1}{2} \quad \text{for Chezy's formula} \quad (17)$$

(10), (11), (12)より g_1 を整理すると

$$\begin{aligned} & \{g(h_0 + \bar{h})^3 - (g_0 + \bar{g})^2\} \frac{\partial^2 g_1}{\partial x^2} - 2(g_0 + \bar{g})(h_0 + \bar{h}) \frac{\partial^2 g_1}{\partial x \partial t} - (h_0 + \bar{h})^2 \frac{\partial^2 g_1}{\partial t^2} - 2(1 + a_o) g S_o (h_0 + \bar{h})^2 \frac{\partial g_1}{\partial x} \\ & - 2g S_o \frac{(h_0 + \bar{h})^3}{(g_0 + \bar{g})} \frac{\partial g_1}{\partial t} = \frac{1}{b} \{g(h_0 + \bar{h})^3 - (g_0 + \bar{g})^2\} \frac{\partial g_1}{\partial x} - 2(1 + a_o) g S_o (h_0 + \bar{h})^2 \frac{g_1}{b} \quad \dots \dots \dots (18) \end{aligned}$$

この左辺の偏微分式をして表わし、右辺を中 (g_1) で表わすと簡単に $L[g_1] = \phi_1(g_1) \dots \dots \dots (19)$ となる。

同様に(10), (11), (12)より h_1 をまとめて $L[h_1] = \psi_1(g_1) \dots \dots \dots (20)$

$$\psi_1(g_1) = -\frac{2}{b} (g_0 + \bar{g}) (h_0 + \bar{h}) \frac{\partial g_1}{\partial x} - \frac{(h_0 + \bar{h})^2}{b} \frac{\partial g_1}{\partial t} - 2g S_o \frac{(h_0 + \bar{h})^3}{(g_0 + \bar{g})} \frac{g_1}{b} \quad \dots \dots \dots (21)$$

全く同様に(13)～(15)より g_2 , h_2 の1本の式に表わすと次々

$$L[g_2] = \phi_2(g_1, h_1, g_2) \dots \dots \dots (22) \quad L[h_2] = \psi_2(g_1, h_1, g_2) \dots \dots \dots (23)$$

$$\text{以後 } O(\varepsilon^3) \text{ から } L[g_3] = \phi_3(g_2, h_2, g_3) \dots \dots \dots (24) \quad L[h_3] = \psi_3(g_2, h_2, g_3) \dots \dots \dots (25)$$

$$O(\varepsilon^4) \text{ から } L[g_4] = \phi_4(g_3, h_3, g_4) \quad L[h_4] = \psi_4(g_3, h_3, g_4)$$

⋮

このしが非自己隣接の双曲型偏微分方程式である。 ϕ_2, ϕ_3, \dots 及び ψ_2, ψ_3, \dots は非線形の形になっているが、前回の解を表わされているので既知である。従って次に述べる境界条件、初期条件を考慮してGreen関数を使ってこれらの方程式を順次解いて、(4)～(6)式に代入すれば解が求まる。

オ-1図に示す様に $x=0$ に於るハイドログラフの平均値 \bar{q} を基準に増減する流量を $q_u(t)$ とする。(同様に $h_u(t)$ を定義する) 境界条件、初期条件は次のようになる。 h についても全く同じ形になる。

境界条件1 $q(0,t) = q_0 + \bar{q} + q_u(t) \quad \bar{q}u(t) = 0 \quad \text{for } x=0, t > 0$
 $= q_0 + \bar{q} + q_1(0,t) + q_2(0,t)/(q_0 + \bar{q}) + \dots$
 $\therefore q_1(0,t) = q_u(t), q_2(0,t) = q_3(0,t) = \dots = 0 \quad \dots \quad (26)$

境界条件2 $q(\infty,t) = q_0 \quad \text{for } x \rightarrow \infty, t > 0$
 $= q_0 + \bar{q} + q_1(\infty,t) + q_2(\infty,t)/(q_0 + \bar{q}) + \dots$
 $\therefore q_1(\infty,t) = -\bar{q}, q_2(\infty,t) = q_3(\infty,t) = \dots = 0 \quad \dots \quad (27)$

初期条件1 $q(x,0) = q_0 \quad \text{for } x > 0, t = 0$
 $= q_0 + \bar{q} + q_1(x,0) + q_2(x,0)/(q_0 + \bar{q}) + \dots$
 $\therefore q_1(x,0) = -\bar{q}, q_2(x,0) = q_3(x,0) = \dots = 0 \quad \dots \quad (28)$

初期条件2 $\frac{\partial q(x,0)}{\partial t} = 0 \quad \text{for } x > 0, t = 0 \quad \therefore \frac{\partial q_1(x,0)}{\partial t} = \frac{\partial q_2(x,0)}{\partial t} = \frac{\partial q_3(x,0)}{\partial t} = 0 \quad \dots \quad (29)$

3. グリーン関数の適用

これらの境界条件、初期条件のもとに、 q_1, h_1 に対する(19),(20)式、 q_2, h_2 に対する(22),(23)式、 q_3, h_3 に対する(24),(25)式 は同様に扱われる。例えば q_1 については、(19)式とその隣接微分式を広義のグリーンの公式に入れ、隣接Green関数 G^* を利用すると、Green関数は次式となる。(詳細については文献(1)を参照されたい)

$$G(\xi, \tau, x, t) = \frac{-\exp\{d_1(x-\xi)-d_2(t-\tau)\}}{2\sqrt{g(h_0+\bar{h})^5}} \left[I_0 \left\{ d_3 \sqrt{(t-\tau - \frac{x-\xi}{C_{01}})(t-\tau - \frac{x-\xi}{C_{02}})} \right\} X \right. \\ \left. H \left\{ t-\tau - \frac{(U_0+\bar{U})(x-\xi)}{C_{01}C_{02}} + \sqrt{g(h_0+\bar{h})} \frac{|x-\xi|}{C_{01}C_{02}} \right\} - I_0 \left\{ d_3 \sqrt{(t-\tau - \frac{x}{C_{01}} + \frac{\xi}{C_{02}})(t-\tau - \frac{x}{C_{02}} + \frac{\xi}{C_{01}})} \right\} H \left\{ t-\tau - \frac{x}{C_{01}} + \frac{\xi}{C_{02}} \right\} \right]$$

ここに $\xi, \tau : 10^{\circ}\text{F} \times \text{タ}-$ $\dots \quad (30)$

I_0 : 0次のオ-1種変形ベッセル関数 H : ヘビサイドの階級関数

$$d_1 = \frac{a_0 s_0}{(h_0 + \bar{h})} \quad d_2 = \frac{s_0(U_0 + \bar{U})}{(h_0 + \bar{h})} \frac{(a_0 F r^2 + 1)}{F r^2} \quad d_3 = \frac{s_0(U_0 + \bar{U})}{(h_0 + \bar{h})} \frac{\sqrt{(1 - F r^2)(1 - a_0^2 F r^2)}}{F r^2}$$

$$C_{01} = (U_0 + \bar{U}) + \sqrt{g(h_0 + \bar{h})} \quad C_{02} = (U_0 + \bar{U}) - \sqrt{g(h_0 + \bar{h})} \quad F r = (U_0 + \bar{U}) / \sqrt{g(h_0 + \bar{h})}$$

但し(30)式は $F r < 1$ に対しての式である。この $G(\xi, \tau, x, t)$ を使って解は次の様になる。

$$q_1(x, t) = \int_0^t \int_0^\infty G(\xi, \tau, x, t) \phi_1(q_L) d\xi d\tau \quad h_1(x, t) = \int_0^t \int_0^\infty G(\xi, \tau, x, t) \psi_1(q_L) d\xi d\tau \\ - \int_0^t \left[(q_u(t) A G_F)_{\xi=0} \right] d\tau - \bar{q} \int_0^\infty \left[2B G_F + C G_T - E G \right]_{\xi=0} d\xi - B l - \int_0^t \left[(h_u(\xi) A G_F)_{\xi=0} \right] d\tau - \bar{h} \int_0^\infty \left[2B G_F + C G_T - E G \right]_{\xi=0} d\xi \quad \dots \quad (32)$$

$$q_2(x, t) = \int_0^t \int_0^\infty G \phi_2(q_1, h_1, q_L) d\xi d\tau \quad \dots \quad (33) \quad h_2(x, t) = \int_0^t \int_0^\infty G \psi_2(q_1, h_1, q_L) d\xi d\tau \quad \dots \quad (34)$$

$$q_3(x, t) = \int_0^t \int_0^\infty G \phi_3(q_2, h_2, q_L) d\xi d\tau \quad \dots \quad (35) \quad h_3(x, t) = \int_0^t \int_0^\infty G \psi_3(q_2, h_2, q_L) d\xi d\tau \quad \dots \quad (36)$$

$$\text{ここで } G_\xi = \frac{\partial G}{\partial \xi}, G_\zeta = \frac{\partial G}{\partial \zeta}, A = g(h_0 + \bar{h})^3 - (g_0 + \bar{g})^2, B = (g_0 + \bar{g})(h_0 + \bar{h})$$

$$C = (h_0 + \bar{h})^2, E = 2gS_0(h_0 + \bar{h})^3 / (g_0 + \bar{g})$$

次に $g_L(x, t) = 0$ のときのその次のオーダー近似値を求める式となる。

$$\begin{aligned} g(x, t) &= g_0 + \bar{g} + g_L(t - \frac{x}{C_{01}}) e^{-d_1 x} + \frac{d_3}{2} \left(\frac{1}{C_{01}} + \frac{1}{C_{02}} \right) x e^{d_1 x} \int_0^x \frac{g_L(\zeta)}{e^{\frac{d_2}{2}(t-\zeta)}} \frac{I_1(d_3 R)}{R} d\zeta \\ &+ k_1 \exp(d_1 x - d_2 t) \left[k_2 \left\{ \int_0^x \frac{\xi}{P} e^{-d_1 \xi} I_0(d_3 P) d\xi - \int_0^x \frac{\xi}{Q} e^{-d_1 \xi} I_0(d_3 Q) d\xi \right\} \right. \\ &- k_3 e^{d_1 C_{02} t} \left(e^{-d_1 x} - e^{-\frac{C_{02}}{C_{01}} d_1 x} \right) + k_4 \left\{ \int_0^x \frac{\xi}{P} e^{-d_1 \xi} \frac{I_1(d_3 P)}{P} d\xi - \int_0^x \frac{\xi}{Q} e^{-d_1 \xi} \frac{I_1(d_3 Q)}{Q} d\xi \right\} \\ &\left. + \left\{ k_5 t + (k_1 + k_6) x \right\} \int_0^x e^{-d_1 \xi} \frac{I_1(d_3 P)}{P} d\xi - \left\{ k_5 t + (k_4 + k_7) x \right\} \int_0^x e^{-d_1 \xi} \frac{I_1(d_3 Q)}{Q} d\xi \right] \\ &\dots \quad (37) \end{aligned}$$

$$\text{ここで } \xi_1 = C_{02} x / C_{01} - C_{02} t \quad \xi_2 = x - C_{02} t \quad \zeta_1 = t - x / C_{01}$$

$$P = \sqrt{\left(t - \frac{x}{C_{01}} + \frac{\xi_1}{C_{02}} \right) \left(t - \frac{x}{C_{02}} + \frac{\xi_1}{C_{01}} \right)} \quad Q = \sqrt{\left(t - \frac{x}{C_{01}} + \frac{\xi_1}{C_{01}} \right) \left(t - \frac{x}{C_{02}} + \frac{\xi_1}{C_{02}} \right)}$$

$$R = \sqrt{\left(t - \zeta_1 - \frac{x}{C_{01}} \right) \left(t - \zeta_1 - \frac{x}{C_{02}} \right)} \quad k_1 = \frac{\bar{g} S_0}{2 \sqrt{g(h_0 + \bar{h})^5}} \quad k_2 = (a_0 + \frac{1}{F_r^2})(g_0 + \bar{g})$$

$$k_3 = \frac{(h_0 + \bar{h})^2 (1 + F_r)}{S_0 (1 - F_r)} \quad k_4 = (h_0 + \bar{h}) \sqrt{\frac{1 - a_0^2 F_r^2}{1 - F_r^2}} \quad k_5 = \frac{(g_0 + \bar{g})(1 + F_r^2)}{F_r^2} \sqrt{\frac{1 - a_0^2 F_r^2}{1 - F_r^2}}$$

$$k_6 = g(h_0 + \bar{h})^2 \sqrt{(1 - F_r^2)(1 - a_0^2 F_r^2)} \left(\frac{1}{C_{01}^2} + \frac{1}{C_{02}^2} \right) \quad k_7 = g(h_0 + \bar{h})^2 \sqrt{(1 - F_r^2)(1 - a_0^2 F_r^2)} - \frac{2}{C_{01} C_{02}}$$

$$k_8 = \bar{h} S_0 / 2 \sqrt{g(h_0 + \bar{h})^5}$$

(37)式で $g_L \rightarrow h_L$, $k_1 \rightarrow k_8$ に代えると $h(x, t)$ のオーダー近似値になる。

4. 数値計算例

始めに $x = 0$ で微小擾乱 ξ_P , h_P , u_P が加わったときの伝播速度を解析的に求めてみる。

$$g(x, t) = g_0 + g_P(x, t), h(x, t) = h_0 + h_P(x, t), u(x, t) = u_0 + u_P(x, t)$$

もし $g_0 \gg g_P$, $h_0 \gg h_P$, $u_0 \gg u_P$

擾動法の観点から見れば, $\bar{g} = \bar{h} = \bar{u} = 0$ としてオーダー近似値を求めることがある。($g_1 = g_P$, $h_1 = h_P$, $u_1 = u_P$)

簡単のため運動方程式で加速度項を無視すると

$$\frac{g_0}{2i_0} \frac{\partial^2 g_P}{\partial x^2} - \frac{(1+a_0)g_0}{h_0} \frac{\partial g_P}{\partial x} - \frac{\partial g_P}{\partial t} = \frac{g_0}{2i_0 b} \frac{\partial g_L}{\partial x} + \frac{g_0^2}{2g_0 h_0^2 i_0 b} \frac{\partial g_L}{\partial t} - \frac{g_0 (1+a_0)}{h_0 b} g_L \quad (38)$$

$$\text{或いは } \frac{g_0}{2i_0} \frac{\partial^2 h_P}{\partial x^2} - \frac{(1+a_0)g_0}{h_0} \frac{\partial h_P}{\partial x} - \frac{\partial h_P}{\partial t} = - \frac{g_0^2}{2g_0 h_0^2 i_0 b} \frac{\partial g_L}{\partial x} - \frac{g_L}{b} \quad (39)$$

これらの式では(26), (27)の境界条件と(28)の初期条件を考えねばよい。この時Green関数は次式になる。

$$G(\xi, \zeta; x, t) = -d'_1 \frac{\exp[d'_2(x - \xi) - d'_3(t - \zeta)]}{\sqrt{2\pi(t - \zeta)}} H(t - \zeta) \left\{ \exp\left[\frac{-d'_4(\xi - x)^2}{(t - \zeta)}\right] - \exp\left[\frac{-d'_4(\xi + x)^2}{(t - \zeta)}\right] \right\} \quad (40)$$

かくして, g_P , h_P は次式となる

$$g_P(x, t) = x \sqrt{\frac{i_0}{2\pi g_0}} \int_0^t \frac{g_L(\zeta)}{(t - \zeta)^{3/2}} \exp\left\{ -\frac{i_0}{2g_0} \frac{[x - (1+a_0)u_0(t - \zeta)]^2}{(t - \zeta)} \right\} d\zeta \quad (41)$$

$$h_p(x,t) = x \sqrt{\frac{i_0}{2\pi f_0}} \int_0^t \frac{h_u(\tau)}{(t-\tau)^{3/2}} \exp\left\{-\frac{i_0}{2f_0} \frac{(x-(1+a_0)u_0(t-\tau))^2}{(t-\tau)}\right\} d\tau \quad (42)$$

$x=0$ で Δt 時間だけ続く波高 K の長方形波を $h_u(t)$ と考えると上式は、(文献(2)のP.187参照)

$$h_p(x,t) = K x \sqrt{\frac{i_0}{2\pi f_0}} \int_0^t \frac{1}{(t-\tau)^{3/2}} \exp\left\{-\frac{i_0}{2f_0} \frac{(x-(1+a_0)u_0(t-\tau))^2}{(t-\tau)}\right\} d\tau$$

$t-\tau=y$ とき、 $\partial h_p / \partial t = 0$ すれば次式が出る。

$$x^2 = \frac{t(t-\Delta t)}{\Delta t} \left\{ (1+a_0)^2 U_0^2 \Delta t - \frac{3f_0}{i_0} \log_e \frac{t-\Delta t}{t} \right\}$$

$x=0$ から遠い場所では $t \gg \Delta t$ ∴ $x=(1+a_0)U_0 t$

即ち伝播速度 $w=(1+a_0)U_0$ となり Chezy の式では $w=\frac{3}{2}U_0$, Manning 式で $w=\frac{5}{3}U_0$ となる。

次に図2は、 $x=0$ に於る g_p のピークが導流々量 g_0 の1割、5割、10割の場合について、差分法の例として 2-step Lax-Wendroff 法と微少擾乱として線形化し Green 関数を用いた場合との比較を示したものである。これより微少擾乱としての取扱いはピーク流量が g_0 の1割までである。それ以上になると、増水期に於て少なく、減水期において大きく出てくる。又この誤差は下流に行く程大きくなることが分かる。

最後に図3は、図2と同じ水路で g_p のピークが g_0 の50倍の場合に、2-step Lax-Wendroff 法と摂動法によるオーバー近似値とを比較したものである。摂動法によるオーバー近似値のみでも $x=100m$ では、2-step Lax-Wendroff 法と一致するが $x=500m$ では、ハイドログラフがかなり右にずれてくる。更に下流に行くと差はもっとひどくなる。

図2, 3近似値を取るとこの差は少なくなると推測されるが、計算結果がでていないので何とも言えない。

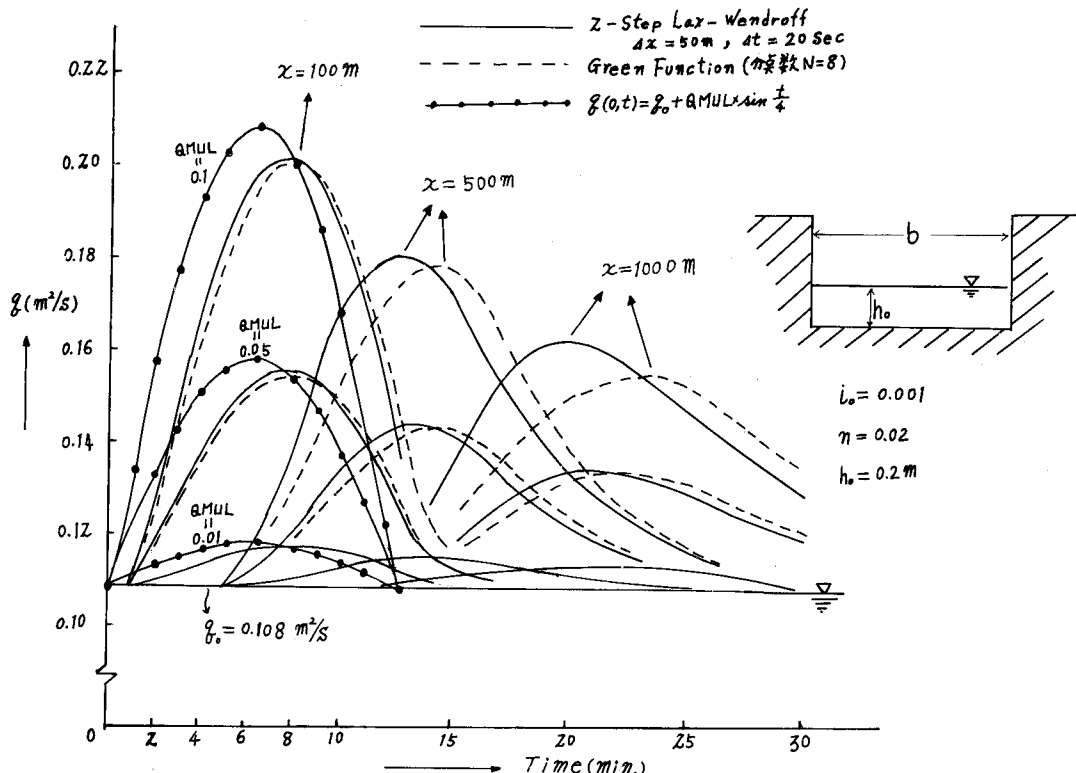


図2 微少擾乱による線形化と2-Step Lax-Wendroff 法との比較

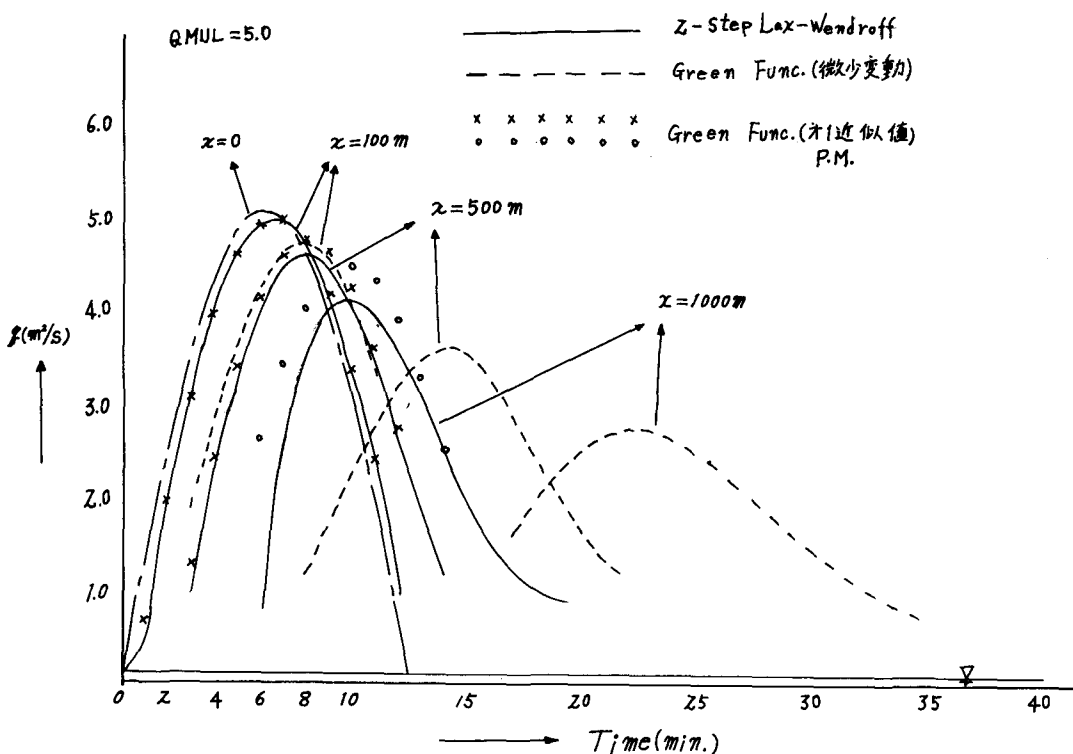


図3 摆動法オ1近似値と2-Step Lax-Wendroff法との比較

5. あとがき

撆動法による計算結果はオ1近似値までしか示すことができなかつた。今後オ2, 3 ... 近似値と取つて行つたとき2-Step Lax-Wendroff法と、どのような差になるのか数値計算して行く考え方である。本方法による数値計算は(37)式を見てわかるように数値積分に帰せられる。オ2近似値以降を求める場合には、2重積分を数値的に求めなければならない。この被積分関数が複雑なので現在このプログラムで苦労している。本論文では撆動のパラメーターを(4), (5), (6)式にあるように θ に対し $1/(g_0 + \theta)$, h に対し $1/(h_0 + h)$, U に対し $1/(U_0 + U)$ を取つたのであるが、如何なるパラメーターを取れば収束が最も早くなるのか、この点を突明して行きたい。これは撆動法の本質的欠点である。最後に本研究に対し、御協力頂いた岡田昌義技官、学生員の酒谷理、名知隆え、増田浩泰の諸氏に深く感謝する次第です。

参考文献

- (1) 佐渡公明：グリーン函数による開水路不定流の解析，土木学会オ29回年次学術講演会概要集オ2部，1974
- (2) 岸 力：水理学演習(2)，学叢社，1970
- (3) Wilfried Brutsaert ; Review of Green's Functions for Linear Open channel, Proc. A.S.C.E. Vol. 99. No. EM6. 1973
- (4) Greenberg, M.D. : Application of Green's Functions in Science and Engineering, Prentice-Hall, 1971
- (5) 伊藤 剛：数値解析の応用と基礎，アテネ出版，1971